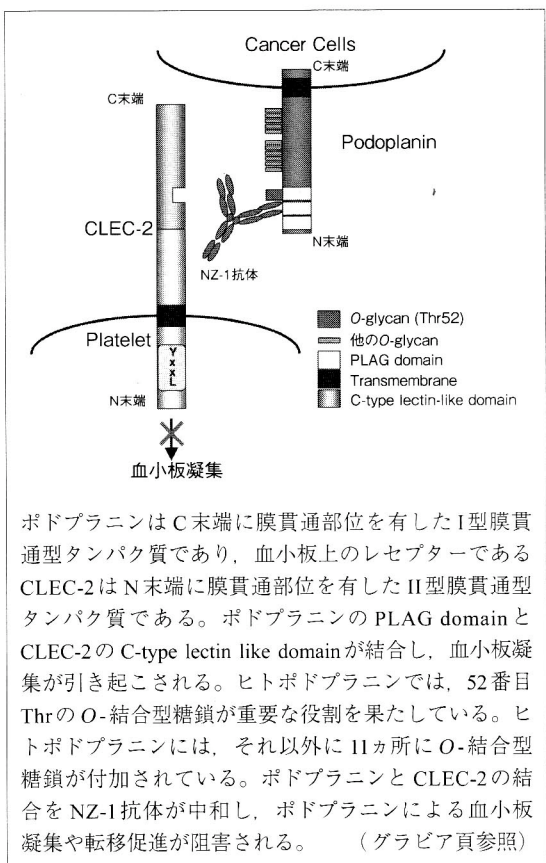


図② NZ-1 抗体によるポドプラニンと CLEC-2 の結合阻害



ポドプラニンは C 末端に膜貫通部位を有した I 型膜貫通型タンパク質であり、血小板上のレセプターである CLEC-2 は N 末端に膜貫通部位を有した II 型膜貫通型タンパク質である。ポドプラニンの PLAG domain と CLEC-2 の C-type lectin like domain が結合し、血小板凝集が引き起こされる。ヒトポドプラニンでは、52 番目 Thr の O-結合型糖鎖が重要な役割を果たしている。ヒトポドプラニンには、それ以外に 11ヶ所に O-結合型糖鎖が付加されている。ポドプラニンと CLEC-2 の結合を NZ-1 抗体が中和し、ポドプラニンによる血小板凝集や転移促進が阻害される。（グラビア頁参照）

III. ポドプラニンの糖鎖構造解析

内在性の糖タンパク質を精製するには、感度・特異度の高い抗体が必要である。われわれはまずヒトポドプラニンに特異度の高いモノクローナル抗体 (NZ-1) を作製した⁶。NZ-1 抗体は、ウエスタンプロットやフローサイトメトリー、免疫組織染色に有用なだけでなく、免疫沈降にも感度・特異度ともに高いことがわかった。さらに、質量分析計 (MS) を使った詳細な糖鎖構造解析（特に O-結合型糖鎖）には、数十 μg の精製タンパクが必要となる。よって、ヒトポドプラニンを高発現している癌細胞株のスクリーニングも同時に行った。その結果、NZ-1 抗体を用いて、ヒト膠芽腫細胞 LN319 からヒトポドプラニンを大量に精製した⁷。

MS を用いて、ポドプラニンの糖鎖構造を解析した結果、ポドプラニンは m/z 1257 の糖鎖をもつことがわかった（図④ A）⁷。さらに、 m/z 1257 の MS/MS 解析により、ポドプラニンは disialyl-core1 構造をもつことがわかった（図④ B）。また、ポドプラニンを Asp-N で処理し、PLAG domain を含む糖ペプチド (Ala23-Glu57) を分離したところ、この部位には disialyl-core1 構造が 1ヶ所のみ付加されていることがわかった。

レクチンアレイを用いた解析によても、同様の結果が示唆された⁷。すなわち、ポドプラニンは sialo-mucin binders である MAH や WGA に反応したが、core1 binder である PNA や BPL には反応しなかった。また、ポドプラニンをシアリダーゼ処理することにより、core1 binder のシグナルがみられ、sialo-mucin binders のシグナルが消失した。core1 \pm sialic acid binders の ABA、ACA、MPA、Jaccalin には、ポドプラニンのシアリダーゼ処理の有無にかかわらず反応した。

ヒトポドプラニンの PLAG domain には、O-結合型糖鎖付加予想部位が 4ヶ所ある。そこで、Edman 分解法によりペプチドシーキエンスを行った結果、Thr52 のみに糖鎖が付加されていることが示唆された（図④ C）。さらに、他のヒトポドプラニンの糖鎖付加部位もすべて同様の方法で決定した（図②）。以上の詳細な解析により、ヒトポドプラニンによる血小板凝集の活性中心は、PLAG domain の Thr52 に付加された disialyl-core1 構造であることが明らかとなった。

IV. ポドプラニンの血小板上レセプターの同定

最近われわれは、井上らとともに、ポドプラニンの血小板上受容体として、C型レクチン様受容体の CLEC-2 (C-type lectin-like receptor-2) を同定した⁸。レセプター発見のきっかけとなったのは、刺激からのラグタイムが長いという特徴的なポドプラニン誘導性の血小板凝集パターンである（図③ A, B）。この凝集パターンを示す血小板上のレセプターとして、コラーゲンレセプターである GPVI や、蛇毒ロドサイチンのレセプターとして発見さ